

Le genre *Dicentrius* REITTER (Coleoptera Staphylinidae Pselaphinae)

CLAUDE BESUCHET

Muséum d'histoire naturelle, CP 6434, CH-1211 Genève 6

The genus *Dicentrius* Reitter (Coleoptera Staphylinidae Pselaphinae).— The genus *Dicentrius* REITTER, 1882 was monospecific so far. The following new taxa from the Balkans are described: *Dicentrius balcanicus balcanicus*, *D. balcanicus pirinensis*, *D. behnei*, *D. biroi*, *D. discrepans*, *D. ermischii*, *D. fodori*, *D. rousi* and *D. zerchei*. *Dicentrius merklii* (REITTER) is redescribed. In addition, three new taxa are mentioned, but left unnamed in absence of sufficient material.

Keywords: Coleoptera, Staphylinidae, Pselaphinae, *Dicentrius*, taxonomy, Balkans

INTRODUCTION

REITTER (1882: 192, 208) a décrit le genre *Dicentrius* pour le *Pselaphus merklii* REITTER, 1880 de Bulgarie. REITTER (1909: 218), RAFFRAY (1890: 137, 138; 1904: 417; 1908: 304, 308) et JEANNEL (1951: 11) ont accepté et donné de nouvelles descriptions de ce genre *Dicentrius*; mais celui-ci est resté monospécifique jusqu'à ce jour. JEANNEL (1951: 11) a classé *Dicentrius* dans la catégorie des genres aberrants parce que le dernier article des palpes maxillaires ne ressemble à aucun autre; car sa classification des Pselaphini est presque entièrement basée sur les palpes maxillaires. De mon côté (BESUCHET, 1968: 295), j'ai surtout remarqué les très grandes ressemblances morphologiques des *Dicentrius* et *Pselaphogenius* REITTER, 1910, que j'ai réunis dans un même genre. J'ai depuis révisé mon jugement; *Dicentrius* et *Pselaphogenius* appartiennent à des genres distincts mais étroitement apparentés (BESUCHET, 1999: 60).

Ce travail a pour but de faire connaître huit espèces nouvelles et une sous-espèce nouvelle du genre *Dicentrius*, toutes très semblables extérieurement à l'espèce-type *merklii* REITTER, mais bien caractérisées par l'édéage.

MATÉRIEL ÉTUDIÉ

Le matériel étudié est déposé dans les collections suivantes:

DEI = Deutsches Entomologisches Institut, Eberswalde
HNHM = Hungarian Natural History Museum, Budapest
MHNG = Muséum d'histoire naturelle, Genève
MNHN = Muséum National d'Histoire Naturelle, Paris
NHMB = Naturhistorisches Museum, Coll. Frey, Bâle
NMPC = National Museum, Prague Kunratic
ZMHB = Museum für Naturkunde der Humboldt Universität, Berlin
CB = Collection Christoph Bückle, Tübingen
VB = Collection Volker Brachat, Geretsried

TAXINOMIE

Dicentrius REITTER, 1882

Dicentrius REITTER, 1882: 192, 208. Espèce-type: *Pselaphus merklia* REITTER, 1880, de Bulgarie.

Pselaphini robustes, microphtalmes et aptères. Coloration toujours d'un brun rougeâtre. Longueur comprise entre 2,0 et 2,3 mm. Tête presque une fois et demie plus longue que large, toujours plus longue que le pronotum et toujours un peu moins large que celui-ci. Face dorsale plutôt aplatie mais avec la moitié postérieure un peu surélevée. Lobe frontal chagriné, subparallèle, nettement plus long que large, orné sur toute sa longueur d'un sillon profond; la partie postérieure de celui-ci est progressivement un peu élargie et relevée jusqu'aux fossettes du vertex. Celles-ci petites, profondes, tomenteuses, séparées par un espace un peu supérieur au diamètre d'une fossette. Région occipitale plus ou moins chagrinée, souvent ornée d'un sillon médian bien marqué; pubescence formée de soies couchées nombreuses dirigées obliquement de bas en haut et d'arrière en avant. Tempes longues, atténuées nettement en arrière dès le bord postérieur des yeux. Constriction collaire bien marquée. Yeux saillants mais petits, formés chacun de 7 à 9 grosses ommatidies. Côtés antérieurs de la tête nettement réticulés. Face ventrale de la tête très gibbeuse dans la région gulaire; celle-ci saillante, très convexe, triangulaire, atténuée en pointe mais sans surplomb sur la partie postérieure de la tête; cette saillie gulaire lisse et brillante, glabre, ornée de deux fossettes sur sa base. Partie postérieure de la tête aplatie, avec une pubescence un peu tomenteuse et deux fossettes juste en arrière de la saillie gulaire.

Pronotum petit, en forme de tonneau, toujours un peu plus long que large. Tégument lisse et brillant, avec des soies couchées nombreuses. Base ornée d'une petite fossette médiane lisse et de deux petites fossettes latérales tomenteuses; pas trace de sillon transverse. Bord postérieur du pronotum finement rebordé. Prosternum court, non caréné, pubescent, avec deux fossettes en avant des hanches I.

Élytres réunis plus larges que longs, nettement élargis de la base (particulièrement étroite, pas plus large que la base du pronotum) à l'apex; bord postérieur concave, avec une frange de soies serrées. Tégument lisse et brillant sur la face dorsale, alutacé sur les côtés. Pubescence formée de soies couchées assez nombreuses, uniformément disposées. Calus huméral complètement effacé. Ornementation de l'élytre formée d'une strie suturale entière, d'une petite strie dorsale marquée jusqu'au milieu de l'élytre et d'une carénule latérale entière; pas de carène humérale à proprement parler; chaque élytre avec deux petites fossettes basales internes réunies dans une dépression profonde et une petite fossette basale externe profonde; ces deux groupes de fossettes sont séparés par une carène très courte qui se prolonge en arrière par la strie dorsale. Ailes complètement atrophiées. Mésosternum nettement caréné en avant des hanches II, ses côtés tomenteux; cavités cotyloïdes II contiguës. Métasternum grand, régulièrement convexe dans les deux sexes, le tégument lisse et brillant; bord postérieur rectiligne entre les hanches III, celles-ci largement séparées.

Abdomen de même longueur environ que les élytres; tégument lisse et brillant sur la face dorsale, sauf le pygidium légèrement réticulé. Premier tergite apparent très grand, toujours plus large que long, un peu élargi d'avant en arrière, un peu plus long que les autres segments réunis, toujours un peu plus large que les élytres. Disque lui-même plus large que long, la base déclive, tomenteuse, le bord postérieur

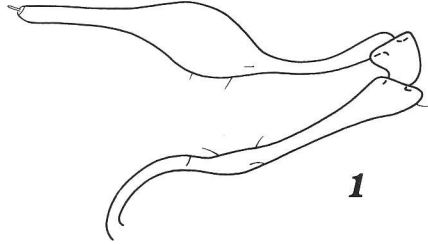


Fig. 1: *Dicentrius biroi* n. sp., palpe maxillaire.

arrondi, la surface régulièrement convexe mais de façon peu accentuée. Les côtés de ce premier tergite sont largement rebordés. Deuxième et troisième tergites de même longueur, courts, aussi assez largement rebordés. Quatrième tergite légèrement plus long que le segment précédent, étroitement rebordé. Premier sternite apparent très grand, plus long que les autres sternites réunis, sa partie antérieure décline, tomenteuse sur toute la largeur; tégument lisse et brillant, alutacé sur les côtés. Deuxième et troisième sternites très courts, le tégument lisse au milieu, alutacé sur les côtés.

Palpes maxillaires (Fig. 1) très grands, grêles, un peu plus courts que les antennes. Massue du dernier article atténuée à l'apex en une pointe aussi longue que le pédoncule de cette massue; celle-ci glabre, sans aucun sillon longitudinal.

Antennes de 11 articles, avec le tégument chagriné, surtout sur le scape. Celui-ci subcylindrique, deux fois plus long que large; pédicelle un peu plus long que large; articles du funicule tous un peu ou nettement plus longs que larges; massue formée de trois articles séparés, progressivement élargis; articles 9 et 10 aussi longs ou un peu plus longs que larges; article 11 nettement élargi, plus convexe sur son bord externe que sur son bord interne, nettement plus long que large, aussi long ou légèrement plus long que les deux articles précédents réunis, atténué en pointe à l'apex.

Pattes de longueur moyenne, le tégument chagriné sur la face dorsale comme sur la face ventrale. Tous les trochanters du type macroscélide. Fémurs robustes, nettement renflés dans la région médiane; base étroite. Tibias grêles, un peu élargis de la base à l'apex. Tarses avec le premier article très petit, le deuxième un peu plus court que le troisième; un seul ongle.

Caractères sexuels des femelles. Bord inférieur des trochanters I régulièrement arrondi. Bord inférieur des trochanters II inerme. Bord postérieur médian du premier sternite apparent régulièrement arrondi, lisse et brillant. Caractères sexuels des mâles. Bord inférieur basal des trochanters I orné d'une petite crête arrondie. Bord inférieur des trochanters II armé près de la base d'une petite dent triangulaire. Bord postérieur médian du premier sternite apparent orné de deux petites dents saillantes plus ou moins écartées, séparées par un espace déprimé plus ou moins nettement réticulé. Disque du métasternum parfois plus convexe mais jamais caréné.

Edéage (Fig. 2 à 10) assez grand (0,40 à 0,46 mm), robuste. Paramères grêles, assez allongés, atteignant l'extrémité du lobe médian, terminés chacun par quatre soies (pas toujours distinctes en vue dorsale). Capsule basale volumineuse, prolongée en arrière par une sorte de manchon, ouvert à son extrémité pour permettre le passage du lobe interne. Face inférieure de la capsule basale prolongée en arrière par une grande lame ventrale (Fig. 11 à 20), plus ou moins large, armée de dents dans sa partie apicale; la disposition de ces dents est plus significative que leur déve-

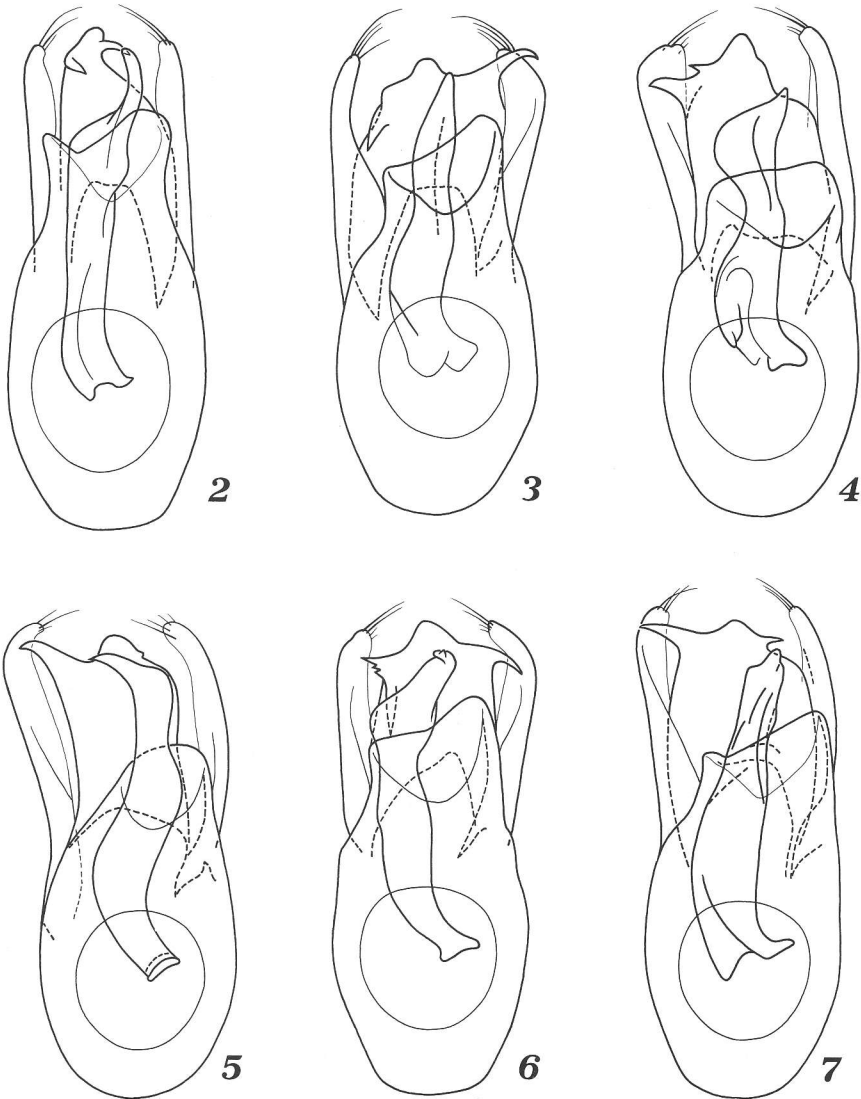


Fig. 2–7: *Dicentrius*, édéage, face dorsale. – 2: *D. merklii* (REITTER). – 3: *D. behnei* n. sp. – 4: *D. zerchei* n. sp. – 5: *D. fodori* n. sp. – 6: *D. balcanicus balcanicus* n. ssp. – 7: *D. biroï* n. sp.

loppement, sujet à des variations individuelles. Lobe interne (Fig. 21 à 30) relativement long, la partie apicale plus ou moins atténuée ou élargie, droite ou courbée. C'est un très bon caractère taxonomique, qu'il faut pouvoir étudier dans des préparations microscopiques encore fraîches, permettant diverses orientations de l'édéage.

L'aire de répartition du genre *Dicentrius* ainsi défini est limitée à la Bulgarie et aux régions voisines de la Serbie, de la Macédoine, du Monténégro et de l'Alba-

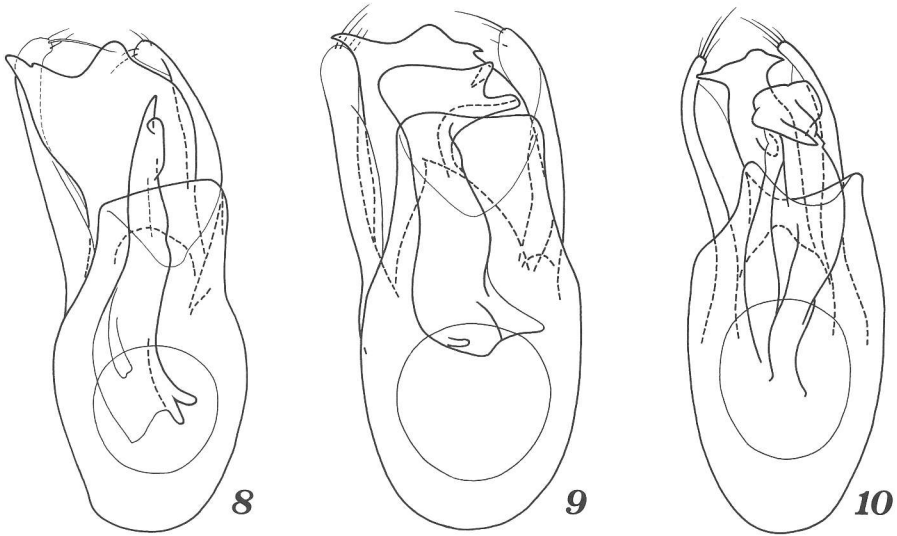


Fig. 8–10: *Dicentrius*, édéage, face dorsale. – 8: *D. rousi* n. sp. – 9: *D. ermishi* n. sp. – 10: *D. discrepans* n. sp.

nie, mais s'étend cependant jusqu'en Bosnie-Herzégovine. Les *Dicentrius* vivent dans les massifs montagneux de ces contrées, dans la litière des forêts ou dans l'humus au pied des rochers, de 700 à 2400 m d'altitude, mais surtout dans l'étagé montagnard-subalpin.

Le genre *Dicentrius* est très homogène, ce qui explique qu'il est resté monospécifique jusqu'à ce jour. Mais l'étude systématique de l'édéage chez 88 mâles m'a permis de distinguer dix espèces, dont neuf sont décrites dans ce travail, trois sous-espèces, dont une décrite ici et de découvrir quelques petits caractères distinctifs dans la morphologie extérieure. Les espèces nouvelles sont classées ici dans l'ordre croissant de complexité du lobe interne de l'édéage.

Dicentrius merklī (REITTER)

Pselaphus merklī REITTER, 1880: 536; 1885: 337, pl. III Fig. 26: palpe maxillaire.

Matériel typique. Il existe deux syntypes de cette espèce, l'un au Muséum de Budapest (Coll. Reitter), l'autre au Muséum de Paris (Coll. Raffray). Ce sont deux mâles portant la même étiquette carrée manuscrite: «79, Bulgarien, Kodscha, Balkan, Merkl». J'ai choisi le mâle du Muséum de Budapest pour lectotype et celui du Muséum de Paris pour paralectotype; l'édéage de ce dernier est perdu ou se trouve dans une préparation de JEANNEL égarée.

Matériel additionnel. Bulgarie, Stara Planina, Klisura, 1898, 1 ♂ (Merkl) (MHNG), 2 ♀♀ (NHMB); Petrochan, 1 ♂ (Breit) (NHMB); Balkan, sans autre précision, 1 ♂ (MHNG). – Yougoslavie, Serbie, Kopaonik, Kriva Rako, 07.1910, 1 ♂ (Rambousek) (NMPC); Schar Planina, 2 ♂♂ (Komarek) (VB). – Macédoine, Schar Dag, Ljuboten, 16.07.1935, 1 ♂, 2 ♀♀ (Fodor) (HNHM), 1 ♂ (MHNG); Ljuboten, 1 ♂ (Apfelbeck) (HNHM).

Partie postérieure de la tête légèrement chagrinée ou même lisse et brillante près du cou, ornée d'un sillon médian peu profond; tempes plus régulièrement atténuées en arrière, moins convexes. Antennes avec le scape robuste, un peu ou légèrement rétréci à la base; funicule plus ou moins allongé, les articles 5, 6 et 7 égaux, ce dernier souvent plus long, 4 un peu plus court; article 10 à peine ou légèrement

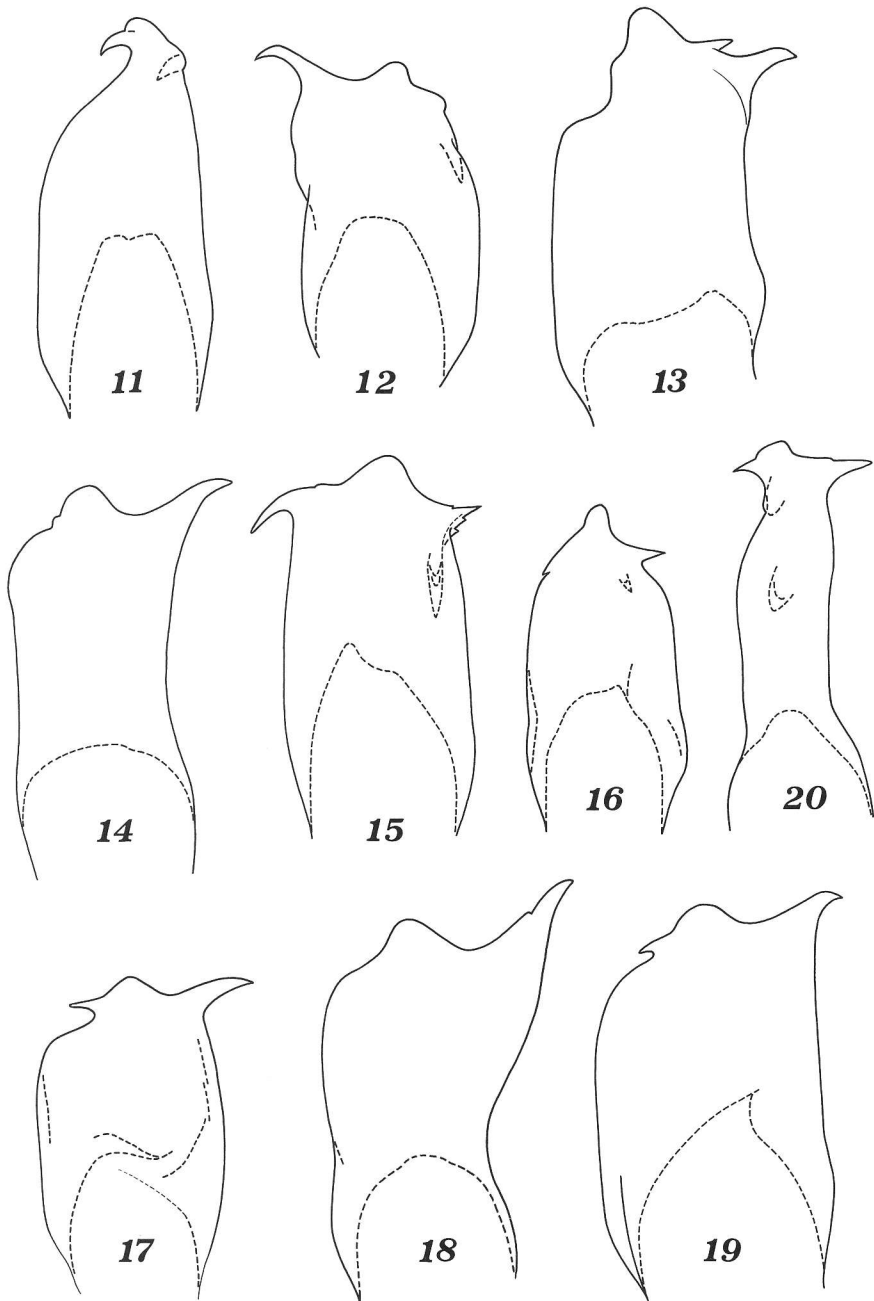


Fig. 11–20: *Dicentrius*, lame ventrale de l'édéage, en vue ventrale et au même grossissement. – 11: *D. merklii* (REITTER). – 12: *D. behnei* n. sp. – 13: *D. zerchei* n. sp. – 14: *D. fodori* n. sp. – 15: *D. balcanicus balcanicus* n. ssp. – 16: *D. balcanicus pirinensis* n. ssp. – 17: *D. biroi* n. sp. – 18: *D. rousi* n. sp. – 19: *D. ermischii* n. sp. – 20: *D. discrepans* n. sp. (grossissement légèrement plus grand).

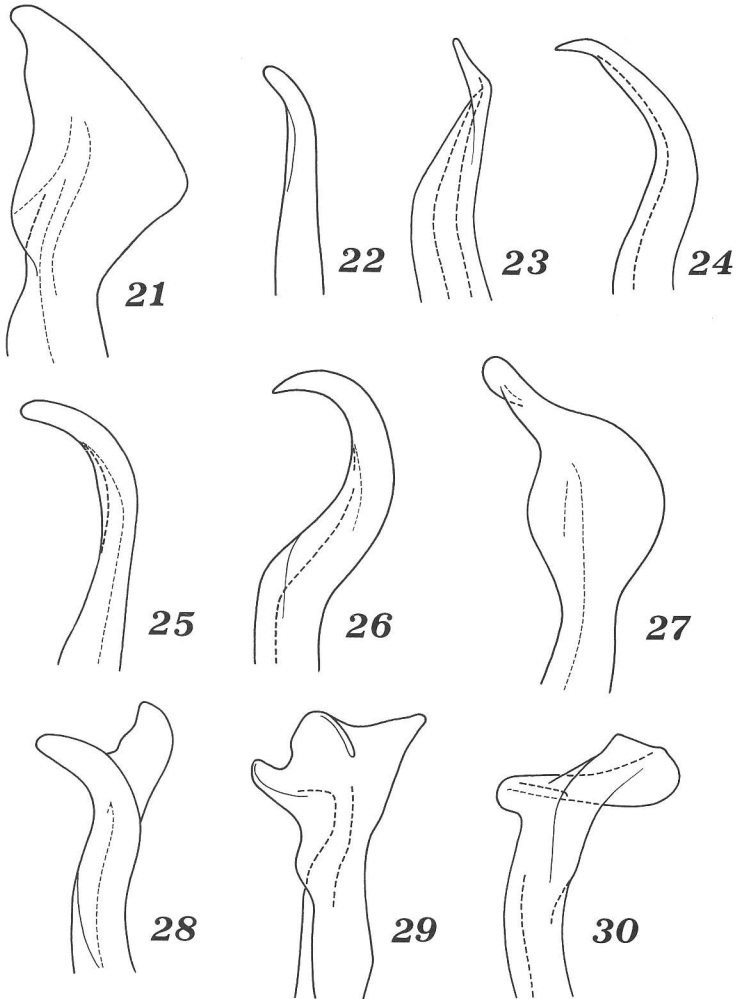


Fig. 21–30: *Dicentrius*, partie apicale du lobe interne de l'édéage, en vue latérale gauche et au même grossissement. – 21: *D. merklīi* (REITTER). – 22: *D. behnei* n. sp. – 23: *D. zerchei* n. sp. – 24: *D. fodori* n. sp. – 25: *D. balcanicus balcanicus* n. ssp. – 26: *D. balcanicus pirinensis* n. ssp. – 27: *D. biroī* n. sp. – 28: *D. rousi* n. sp. – 29: *D. ermischī* n. sp. – 30: *D. discrepans* n. sp.

plus long que large. Pronotum avec la plus grande largeur située au milieu; fossette basale médiane généralement superficielle ou peu profonde. Mâle: dents du premier sternite apparent séparées par un espace déprimé de 0,09 à 0,11 mm finement réticulé.

Édéage (Fig. 2). Long. 0,42–0,45mm. Lame ventrale (Fig. 11) de largeur moyenne, toujours nettement atténuée dans sa partie apicale, celle-ci toujours armée de deux dents plus ou moins rabattues en avant. Lobe interne (Fig. 21) robuste, la partie apicale terminée par une lame verticale triangulaire assez grande.

La localité-type Kodscha-Balkan porte un nom turc abandonné depuis longtemps; cette localité devrait se trouver dans le centre de la Stara Planina, chaîne montagneuse jadis nommée Balkan (communication personnelle du Dr. L. Zerche).

***Dicentrius behnei* n. sp.**

Holotype ♂. Bulgarie, Stara Planina; versant nord, à 5 km au sud de Ribaritz, dans une vallée ombragée à 750 m d'altitude; 7.06.1997; tamisage dans une hêtraie humide, (Zerche & Behne) (DEI). Paratypes. Même provenance: 1 ♂, 3 ♀♀ (DEI), 1 ♂, 1 ♀ (MHNG).

Partie postérieure de la tête légèrement chagrinée, avec un sillon médian léger; tempes plus régulièrement atténuées en arrière, moins convexes. Dernier article des palpes maxillaires particulièrement long: 0,43 à 0,46 mm. Antennes avec le scape presque cylindrique; funicule plus allongé, tous les articles nettement plus longs que larges; articles 5, 6 et 7 égaux, 4 légèrement plus court, 10 légèrement plus long que large. Pronotum avec la plus grande largeur située au milieu; fossette basale médiane profonde. Mâle: dents du premier sternite apparent séparées par un espace déprimé de 0,10 à 0,11 mm à peine réticulé.

Edéage (Fig. 3). Long. 0,40–0,41 mm. Lame ventrale (Fig. 12) très large, obliquement tronquée dans sa partie apicale, prolongée sur le côté gauche par une grande dent; côté droit avec une grande dent rabattue en avant. Lobe interne (Fig. 22) simple, droit, assez régulièrement atténué dans sa partie apicale.

***Dicentrius zerchei* n. sp.**

Holotype ♂. Bulgarie, Mts Rila, montagne au sud de Borovec, 2000 m, 19.06.1988, tamisage dans une forêt de *Pinus mugo* (Zerche & Behne) (DEI). Paratypes. Même provenance, 2000m, 19.06.1988, 1 ♂ 1 ♀ (DEI); même provenance, 1900m, 16.06.88, 2 ♀♀ (DEI); même provenance, 1800 m, 16 et 19.06.1988, tamisage dans la partie supérieure de la forêt d'épicéas, 2 ♂, 1 ♀♀ (DEI), 2 ♂♂, 1 ♀ (MHNG); Mts Rila, Belmeken, 2.05.1909, 1 ♂ (Rambousek) (NMPC). Mts Pirin, Vichren, 2000 m, 20.07.1972, 1 ♂ (Rous) (VB).

Partie postérieure de la tête distinctement chagrinée, non ou légèrement sillonnée; tempes plus régulièrement atténuées en arrière, moins convexes. Antennes avec le scape cylindrique; funicule plus allongé, tous les articles nettement plus longs que larges; articles 5 et 6 égaux, légèrement plus longs que 4 mais légèrement plus courts que 7; article 10 à peine ou légèrement plus long que large. Pronotum avec la plus grande largeur située un peu en avant du milieu; fossette basale médiane profonde. Mâle: dents du premier sternite apparent séparées par un espace déprimé de 0,14 à 0,18 mm finement réticulé le long du bord postérieur du sternite, parfois lisse et brillant au milieu.

Edéage (Fig. 4). Long. 0,43–0,45 mm. Lame ventrale (Fig. 13) très large, plus ou moins régulièrement ou brusquement atténuée sur son côté gauche, avec généralement une très petite dent; côté droit toujours armé de deux dents contiguës, l'une grande, l'autre petite. Lobe interne (Fig. 23) robuste, la partie apicale terminée par une lame horizontale triangulaire.

***Dicentrius fodori* n. sp.**

Holotype ♂. Bulgarie, Mts Rila, Monastère de Rila, 14.07.1927 (Fodor) (HNHM). Paratypes. Mts Rila, Monastère de Rila, 1 ♂ (NMPC); même provenance, 1911, 2 ♂♂, 1 ♀ (Hilf) (NHMB), 2 ♂♂ (MHNG), 1 ♂, 1 ♀ (ZMHB), 1 ♂ (DEI); même provenance, 14.07.1927, 2 ♂♂, 3 ♀♀ (Fodor) (HNHM), 2 ♂♂, 1 ♀ (MHNG); Mts Rila, environs de la cabane Maljovica, 1800 m, 20.06.1989, tamisage dans la zone supérieure de la forêt d'épicéas, 1 ♂ (Zerche & Behne) (DEI). Mts Pirin, Vichren, 2000 m, 20.07.1972, 1 ♂, 2 ♀♀ (Rous) (VB).– Bosnie, Herzégovine, Plassa, 1901, 1 ♂ (Linke) (MHNG).

Partie postérieure de la tête distinctement chagrinée, ornée d'un sillon médian généralement bien marqué; tempes moins régulièrement atténuées en arrière, plus ou moins convexes. Antennes avec le scape cylindrique; funicule plus allongé, tous les articles nettement plus longs que larges; articles 4 et 5 égaux, le premier parfois un peu plus court, 6 et 7 un peu plus longs, égaux; article 10 légèrement ou un peu plus long que large. Pronotum avec la plus grande largeur située au milieu; fossette basale médiane généralement profonde. Mâle: dents du premier sternite apparent séparées par un espace déprimé de 0,14 à 0,15 mm (0,10 mm chez un mâle de Vichren) nettement réticulé, parfois presque lisse et brillant.

Édage (Fig. 5). Long. 0,40–0,43mm. Lame ventrale (Fig. 14) moyennement large, toujours prolongée du côté droit par une grande dent; côté gauche très généralement arrondi, parfois avec une très petite dent latérale. Lobe interne (Fig. 24) courbé dans la partie apicale, celle-ci régulièrement atténuée.

Dicentrius balcanicus n. sp.

Holotype ♂. Albanie, Vermosa, à la frontière avec le Monténégro, 1200 m, 8.06–5.07.1914 (Penther) (MHNG). Paratypes. Même provenance, 2 ♂♂ (MHNG). – Monténégro, Mt Tara-Tal, Han Garancic, 19–20.07.1938, 3 ♂♂, 1 ♀ (Fodor) (HNHM). – Bosnie, Vareš, 3 ♂♂, 4 ♀♀ (Apfelbeck) (NHMB), 1 ♂, 1 ♀ (HNHM), 1 ♂, 1 ♀ (MHNG).

Partie postérieure de la tête distinctement chagrinée, ornée d'un sillon médian peu profond ou léger; tempes plus régulièrement atténuées en arrière, moins convexes. Antennes avec le scape robuste, un peu rétréci à la base, parfois cylindrique; funicule généralement moins allongé, les articles 5, 6 et 7 égaux; article 7 parfois un peu plus long, 4 un peu plus court, 10 généralement aussi long ou légèrement plus long que large. Pronotum avec la plus grande largeur située au milieu ou légèrement en avant de celui-ci; fossette basale médiane profonde. Mâle: dents du premier sternite apparent séparées par un espace déprimé de 0,10 à 0,11 mm finement réticulé.

Édage (Fig. 6). Long. 0,40–0,44 mm. Lame ventrale (Fig. 15) assez large, la partie apicale toujours armée sur le côté gauche d'une grande dent plus ou moins crochue; côté droit toujours orné de deux dents contiguës, l'une en position latérale, l'autre en position dorsale, rabattue en avant; la dent latérale, plus petite, est souvent accompagnée d'une ou de deux dents très petites. Lobe interne (Fig. 25) plutôt aplati dorso-ventralement dans sa partie apicale, celle-ci nettement courbée vers le haut.

Cette espèce, assez largement répandue dans les Balkans, présente plusieurs sous-espèces qui ne sont bien caractérisées que par la lame ventrale de l'édage (Fig. 15 et 16). Le lobe interne (Fig. 25 et 26) de celui-ci est toujours du même type, à savoir nettement courbé vers le haut dans sa partie apicale. Il n'y a pas de différences dans la morphologie générale et les caractères sexuels des mâles sont presque identiques.

Dicentrius balcanicus pirinensis n. ssp.

Holotype ♂. Bulgarie, Mts Pirin, Banderica au-dessus de Bansko, 13.06.1989; tamisage dans la forêt de pins à 1800 m, entre les pierres (Besuchet) (MHNG). Paratypes. Même provenance, 1 ♀ (MHNG); Vall. Banderica, Macedoniz 2400m, 1 ♂, 1 ♀ (Fodor) (HNHM); Cabane Pirin, 1600 m, tamisage dans la forêt de hêtres, 21.07.1983, 1 ♂ (Zerche) (DEI); Blagoevgrad, Lista Poliana au nord-ouest du village de Pirin, 1300 m, 2.06.1991, 2 ♂♂ (Bückle) (CB). Mts Rila, Tschamkorija = Borovec, 07.1908, 1 ♂ (Rambousek) (DEI); même provenance, 1911, 1 ♂ (Hilf) (MHNG).

Mâle: dents du premier sternite apparent séparées par un espace déprimé de 0,07 à 0,10 mm.

Édéage. Long. 0,40–0,42 mm. Lame ventrale (Fig. 16) un peu moins large, atténuée dans sa partie apicale; pas de grande dent sur le côté gauche, tout au plus une très petite dent; côté droit avec une dent latérale saillante et une petite dent sur la face dorsale de la lame ventrale, mais éloignée du bord latéral. Lobe interne (Fig. 26) très semblable à celui de *balcanicus* s. str., un peu plus robuste.

Les deux mâles des Mts Rila diffèrent légèrement des mâles des Mts Pirin: lame ventrale moins atténuée dans la région apicale; celle-ci armée du côté droit d'une dent rabattue en avant et d'une dent latérale, comme chez *balcanicus* s. str.

Dicentrius balcanicus ssp. 2

Bulgarie, Stara Planina, Kom, 700 m, au pied du versant nord du massif de Kom, à environ 14 km au nord-est du sommet, 9.06.1997; tamisage dans une forêt de feuillus mais sans hêtres, 1 ♂, 1 ♀ (Zerche & Behne) (DEI); Kom, sommet, 2010 m, 9.06.1997, versant nord au bord d'un névé, 1 ♀ (Zerche & Behne) (DEI).

Mâle: dents du premier sternite apparent séparées par un espace déprimé de 0,13 mm finement réticulé.

Édéage. Long. 0,46 mm. Lame ventrale plus étroite, subparallèle, armée de chaque côté, près de l'apex, d'une grande dent rabattue en avant.

Dicentrius balcanicus ssp. 3

Bulgarie, Lakatishka Rila à l'ouest du col de Klisura près de Samokov, 850 m, 23.06.1997; tamisage dans une forêt de hêtres, 1 ♂, 3 ♀ ♀ (Zerche & Behne) (DEI).

Mâle: dents du premier sternite apparent séparées par un espace déprimé de 0,13 mm lisse et brillant.

Édéage. Long. 0,40mm. Lame ventrale plus étroite, atténuée dans sa partie apicale; pas de dent sur le côté gauche; côté droit orné, près de l'apex, d'une grande dent rabattue en avant.

Dicentrius biroï n. sp.

Holotype ♂. Macédoine, Mts Osogovo, à la frontière avec la Bulgarie, 15.08.1928 (Biro) (HNHM). Paratypes. Bulgarie, Balkan = Stara Planina, sans autre précision, 4 ♂ ♂, 2 ♀ ♀ (Merkl) (MNHN), 1 ♂ (MHNG); Stara Planina, Kalofer, 08.1912, 2 ♂ ♂ (Hilf) (DEI et MHNG); même provenance, 10.07.1928, 4 ♂ ♂, 4 ♀ ♀ (Fodor) (HNHM), 1 ♂, 1 ♀ (MHNG); Stara Planina, versant nord, Ostrez près d'Aprilzi, 1010 m, 26.06.1997, tamisage dans un reste d'une forêt de feuillus, 1 ♂ (Zerche & Behne) (DEI); Maglige, 07–08.1912, 1 ♂, 1 ♀ (Hilf) (DEI); Jumrukschal, 1 ♂, 1 ♀ (Breit) (NHMB).– Macédoine, Mts Osogovo, à la frontière avec la Bulgarie, [15.08.1928] 4 ♂ ♂, 1 ♀ (Biro) (HNHM), 2 ♂ ♂ (MHNG).

Partie postérieure de la tête lisse et brillante, au moins dans la région occipitale, ornée d'un sillon médian bien marqué; tempes généralement plus régulièrement atténuées en arrière, moins convexes. Antennes avec le scape robuste, un peu rétréci à la base; funicule plus allongé, tous les articles nettement plus longs que larges; articles 5, 6 et 7 égaux, 6 parfois un peu plus court; article 4 un peu plus court, 10 presque toujours un peu plus long que large. Pronotum avec la plus grande largeur située un peu en avant du milieu; fossette basale médiane profonde. Mâle: dents du premier sternite apparent séparées par un espace déprimé de 0,13 à 0,15 mm généralement nettement réticulé.

Edéage (Fig. 7). Long. 0,41–0,45 mm. Lame ventrale (Fig. 17) large, la partie apicale toujours armée de deux dents inégales, celle du côté droit assez grande. Partie apicale du lobe interne (Fig. 27) subparallèle en vue dorsale, toujours nettement dilatée avant l'apex en vue latérale.

***Dicentrius rousi* n. sp.**

Holotype ♂. Bulgarie, Mt Vitoscha, 1700 m, 25.07.1972 (Rous) (MHNG). Paratype. Même provenance, 1800 m, 1.07.1966, 1 ♂ (Ermisch) (ZMHB).

Partie postérieure de la tête distinctement chagrinée, ornée d'un sillon médian bien marqué; tempes moins régulièrement atténuées en arrière, plus convexes. Antennes avec le scape robuste, un peu rétréci à la base; funicule plus allongé, tous les articles nettement plus longs que larges; articles 4 et 5 égaux, 6 et 7 légèrement plus longs, égaux; article 10 légèrement plus long que large. Pronotum avec la plus grande largeur située au milieu; fossette basale médiane profonde. Mâle: dents du premier sternite apparent séparées par un espace déprimé de 0,15 mm plus ou moins réticulé le long du bord postérieur du sternite.

Edéage (Fig. 8). Long. 0,44–0,45 mm. Lame ventrale (Fig. 18) très large, toujours prolongée sur le côté droit par une grande dent; côté gauche arrondi, inerme. Lobe interne (Fig. 28) assez long, bifide à l'apex, celui-ci formé de deux lobes arrondis.

***Dicentrius ermishi* n. sp.**

Holotype ♂. Bulgarie, Rhodope, Pamporovo, 2.07.1966 (Ermisch) (ZMHB). Paratypes. Même provenance, 1 ♂ 1 ♀ (ZMHB), 1 ♂ (MHNG); même provenance, 08.1968, 1 ♀ (Ermisch) (ZMHB).

Partie postérieure de la tête distinctement chagrinée, ornée d'un sillon médian bien marqué; tempes moins régulièrement atténuées en arrière, plus convexes. Dernier article des palpes maxillaires un peu plus court (0,37 à 0,39 mm) par rapport aux autres espèces (0,41 à 0,46 mm). Antennes avec le scape robuste, un peu rétréci à la base; funicule moins allongé; article 4 moins long que 3 et 5; articles 5, 6 et 7 égaux, 10 aussi long ou légèrement plus long que large. Pronotum avec la plus grande largeur située au milieu; fossette basale médiane profonde. Mâle: dents du premier sternite apparent séparées par un espace déprimé de 0,10 à 0,11 mm finement réticulé le long du bord postérieur.

Edéage (Fig. 9). Long. 0,42–0,43 mm. Lame ventrale (Fig. 19) très large, toujours prolongée sur le côté droit par une grande dent et armée sur le côté gauche par une petite dent. Lobe interne (Fig. 29) robuste, sa partie apicale dilatée, complexe.

***Dicentrius discrepans* n. sp.**

Holotype ♂. Bulgarie, Mts Pirin, Banderica au-dessus de Bansko, 13.06.1989; tamisage dans la forêt de pins à 1800 m, entre les pierres (Besuchet) (MHNG).

Partie postérieure de la tête distinctement chagrinée, ornée d'un sillon médian léger; tempes moins régulièrement atténuées en arrière, assez convexes. Dernier article des palpes maxillaires long de 0,40 mm. Antennes avec le scape cylindrique; funicule plus allongé, tous les articles nettement plus longs que larges; articles 4 et 5 égaux, 6 et 7 un peu plus longs, égaux; article 10 légèrement plus long que large. Pronotum avec la plus grande largeur située un peu en avant du milieu; fossette basale médiane profonde. Premier tergite apparent avec les rebords distinctement

réticulés (lisses chez toutes les autres espèces). Mâle: trochanters II inermes (armés d'une petite dent triangulaire chez les autres espèces). Disque du métasternum assez convexe. Premier sternite apparent orné sur son bord postérieur, au milieu, d'une petite saillie arrondie (deux dents chez les autres espèces), accompagnée en avant d'une zone finement ponctuée sur fond lisse et brillant; ces points de plus en plus espacés du bord postérieur du sternite jusqu'au milieu de celui-ci.

Edéage (Fig. 10). Paramères avec la partie externe bien délimitée car bien chitinisée sur toute la longueur. lame ventrale (Fig. 20) étroite, subparallèle, un peu élargie à l'apex, celui-ci armé d'une dent de chaque côté; deux dents arrondies sur la face dorsale de la lame ventrale. Lobe interne (Fig. 30) robuste, complexe, brusquement dilaté à l'apex avec une dent bien distincte en vue dorsale.

Dicentrius discrepans diffère très nettement de toutes les autres espèces du genre par les caractères sexuels du mâle et par l'édéage.

***Dicentrius* sp.**

Bulgarie, Rhodope, 2 km à l'ouest de Jakoruda, 960 m, 18.06.1997; tamisage dans une forêt de feuillus, à la frontière des Mts Rila et des Rhodope, mais déjà sur le versant nord de ce massif, 1 ♂ (Zerche & Behne) (DEI).

Pas de caractères distinctifs particuliers dans la morphologie générale. Mâle: dents du premier sternite apparent séparées par un espace déprimé de 0,11 mm réticulé le long du bord postérieur.

Edéage. Long. 0,42 mm. lame ventrale large, atténuée dans sa partie apicale, celle-ci arrondie et sans dent sur le côté gauche; côté droit armé d'une dent rabattue en avant comme chez *D. behnei*. Lobe interne robuste, coudé dans sa partie apicale, celle-ci bifide à l'apex comme chez *D. rousi* mais avec deux dents pointues.

Les caractères liés à l'édéage sont très stables chez les *Dicentrius*. Cette espèce est certainement nouvelle, mais je préfère ne pas la décrire pour l'instant.

TABLEAU D'IDENTIFICATION DES *DICENTRIUS*

- 1 Rebords du 1er tergite apparent distinctement réticulés; caractères sexuels du ♂: trochanters II inermes; 1er sternite apparent avec seulement une petite dent arrondie au milieu du bord postérieur *discrepans* n. sp.
- Rebords du 1er tergite apparent lisses et brillants, tout au plus très légèrement alutacés; caractères sexuels du ♂: trochanters II armés d'une petite dent; 1er sternite apparent avec deux petites dents arrondies sur le bord postérieur .. 2
- 2 Plus grande largeur du pronotum située un peu en avant du milieu 3
- Plus grande largeur du pronotum située au milieu 4
- 3 Partie postérieure de la tête lisse et brillante, au moins dans la région occipitale, celle-ci nettement sillonnée; antennes avec le scape robuste, un peu rétréci à la base *biroi* n. sp.
- Partie postérieure de la tête distinctement chagrinée, non ou légèrement sillonnée; antennes avec le scape cylindrique *zercheii* n. sp.
- 4 Fossette basale médiane du pronotum généralement superficielle ou peu profonde; partie postérieure de la tête légèrement chagrinée ou même lisse et brillante près du cou *merkliei* (REITTER)
- Fossette basale médiane du pronotum généralement profonde; partie postérieure de la tête généralement distinctement chagrinée 5

- 5 Dernier article des palpes maxillaires particulièrement long: 0,43 à 0,46 mm; partie postérieure de la tête légèrement chagrinée *behnei* n. sp.
 – Dernier article des palpes maxillaires plus court; partie postérieure de la tête distinctement chagrinée 6
- 6 Dernier article des palpes maxillaires particulièrement court: 0,37 à 0,39 mm *ermischi* n. sp.
 – Dernier article des palpes maxillaires de longueur moyenne: 0,41 à 0,43 mm 7
- 7 Partie postérieure de la tête avec le sillon médian peu profond ou léger; tempes moins convexes; antennes plus courtes *balcanicus* n. sp.
 – Partie postérieure de la tête avec le sillon médian généralement bien marqué; tempes plus convexes; antennes plus longues 8
- 8 Antennes avec le scape cylindrique *fodori* n. sp.
 – Antennes avec le scape robuste, un peu rétréci à la base *rousi* n. sp.

REMERCIEMENTS

Au terme de ce travail, je tiens tout d'abord à remercier le Dr L. ZERCHE, du Deutsches Entomologisches Institut à Eberswalde, qui m'a soumis un lot important de *Dicentrius*, dont ceux qu'il a trouvés au cours de ses recherches en Bulgarie, et qui m'a aussi aidé pour la localisation de certaines provenances. Mes remerciements vont également à Mmes N. BERTI et E. SPRECHER, des musées de Paris et de Bâle, à MM J. JELINEK, O. MERKL et M. UHLIG, respectivement des musées de Prague, de Budapest et de Berlin, enfin à mes amis VOLKER BRACHAT de Geretsried et CHRISTOPH BÜCKLE de Tübingen, qui tous m'ont adressé pour étude les *Dicentrius* de leurs collections. En plus M. BRACHAT m'a très généreusement donné l'holotype du *D. rousi* n. sp.

REFERENCES

- BESUCHET, C. 1968. Psélaphides des Canaries et de Madère (Coleoptera). *Mitt. Schweiz. Ent. Ges.* 41: 275–297.
- BESUCHET, C. 1999. Psélaphides paléarctiques. Notes taxonomiques et faunistiques (Coleoptera Staphylinidae Pselaphinae). *Revue Suisse Zool.* 106: 45–67.
- JEANNEL, R. 1951. Sur la systématique des genres de la tribu Pselaphini Raffray (Coleoptera Pselaphidae). *Rev. fr. Ent.* 18: 5–11.
- RAFFRAY, A. 1890. Étude sur les Psélaphides. *Rev. Ent. Caen* 9: 1–28, 81–172, 193–219, 3 pl.
- RAFFRAY, A. 1904 (1903). Genera et catalogue des Psélaphides. *Ann. Soc. ent. Fr.* 72: 484–604; 73: 1–476, 635–658, 3 pl.
- RAFFRAY, A. 1908. Coleoptera Fam. Pselaphidae. In: WYTSMANN, P. (ed.): *Genera Insectorum*, fasc. 64, 487 pp., 9 pl.
- REITTER, E. 1880. Beitrag zur Kenntniss europäischer Pselaphidae und Scydmaenidae. *Verh. zool.-bot. Ges. Wien* 29: 533–542.
- REITTER, E. 1882. Versuch einer systematischen Eintheilung der Clavigeriden und Pselaphiden. *Verh. nat. Ver. Brünn* 20: 177–211.
- REITTER, E. 1885. Abbildungen und Bemerkungen zu wenig gekannten Pselaphiden-Gattungen mit Beschreibungen neuer Arten. *Dtsch. Ent. Z.* 29, II: 333–339, pl. II & III, fig. 16–35.
- REITTER, E. 1909. *Fauna Germanica. Die Käfer des Deutschen Reiches*. II. Band. Stuttgart, K. G. Lutz' Verlag, 392 pp., pl. 41–80.

(reçu le 3 mai 1999; accepté le 25 mai 1999)

PRIX MOULINES

Bewerbungen um einen Beitrag aus dem Prix Moulines für 2000 sind laut Règlement (*Mitt. Schweiz. Ent. Ges.* 65: II–III) mit den notwendigen Unterlagen bis spätestens 31. Januar 2000 an den Präsidenten der SEG, Dr. J. Wuest, Muséum d'histoire naturelle, c.p. 6434, 1211 Genève 6, zu richten.

Namens des Vorstandes der SEG möchten die Redaktoren alle Mitglieder der SEG ausdrücklich auf diese Bewerbung hinweisen.

Les candidatures pour le Prix Moulines 2000 (voir le règlement dans *Bull. Soc. Entomol. Suisse* 65: II–III) sont à déposer au plus tard le 31 janvier 2000, accompagnées des documents demandés, auprès du président de la SES, Dr. J. Wuest, Muséum d'histoire naturelle, c.p. 6434, 1211 Genève 6.

Au nom du comité, les rédacteurs désirent ainsi encourager les membres de la SES à faire acte de candidature.